

## دراسة تحليلية محوسبة لماص الأمواج المايكروية الهرمي الشكل

عبد المعين أحمد الرفاعي<sup>1\*</sup>

<sup>1\*</sup>. أستاذ مساعد، دكتور، مهندس، الجامعة الوطنية الخاصة بحمادة، كلية الهندسة، الكترونيات واتصالات.

[abdoulmouen.alrifai@wpu.edu.sy](mailto:abdoulmouen.alrifai@wpu.edu.sy)

### الملخص:

توجد العديد من الشروط (العوامل) التي تؤثر على أداء ماص الأمواج المايكروية الهرمي الشكل Pyramidal Microwave Absorber والتي يجبأخذها بعين الاعتبار عند استخدامه كمكون أساسى في تصميم الغرف الماصة رادارياً Anechoic Chambers. وهذه العوامل هي: أماكن توضع البوابة، مساحة البوابة، زاوية ورود الموجة الكهرومغناطيسية إلى الماص الهرمي، المسافة بين البوابة والماص الهرمي.

سوف يتم تبيان تأثير تلك العوامل على الأداء من خلال دراسة معامل الانعكاس  $S_{11}$ . حيث سيتم تنفيذ ذلك بواسطة المحاكاة الحاسوبية المنفذة بواسطة البيئة الحاسوبية CSTMWS وباستخدام مادة ذات ثابت عزل  $\epsilon_r = 2.9$ .

مع العلم بأن المواصصات الهرمية تصمم لتعمل بشكل فعال ضمن المجال الترددي من  $(1 \div 20) GHz$ .

**الكلمات المفتاحية:** ماص الأمواج المايكروية الهرمي الشكل، الغرف الماصة رادارياً، معامل الانعكاس  $S_{11}$ ، CSTMWS، التوافق الكهرومغناطيسي EMC، المقطع الراداري RCS، الانعكاسية R، معامل الانكسار  $n$ ، الماص الهرمي القياسي TDK-ICT-030.

تاريخ الإيداع: 2023/5/7

تاريخ القبول: 2023/6/8



حقوق النشر: جامعة دمشق -  
سوريا، يحتفظ المؤلفون بحقوق  
النشر بموجب CC BY-NC-SA

## Analytical and Computer-Aided study of Pyramidal Microwave Absorber

**Abdoulmouen Ahmed Alrifai\*<sup>1</sup>**

\*<sup>1</sup>. Associated Professor, Eng, Dr in the Department of Communications Engineering of College of Engineering - Al Wataniya Private University.  
[abdoulmouen.alrifai@wpu.edu.sy](mailto:abdoulmouen.alrifai@wpu.edu.sy)

### Abstract:

There are many conditions that affect the performance of absorbent microwave pyramidal shape, which must be taken into account when using it as an essential component in the design of the Anechoic Chambers, and these factors are: position the gate are placed, at the gate area, incident angles of electromagnetic wave to the microwave pyramidal absorber, the distance between the gate and the microwave pyramidal absorber. It will be shown who these conditions impact of these cases on the performance by studying the reflection coefficient  $S_{11}$ . This will be implemented by means of computer simulations carried out by the program CSTMWS and using fixed-isolating material which has permeability coefficient  $\epsilon_r = 2.9$ .

It is worth to note that the microwave pyramidal absorber designed to operate effectively within the frequency range of (1 ÷ 20) GHz.

**Keywords:** Pyramidal wave absorber, Anechoic chamber, reflection factor  $S_{11}$ , CSTMWS software, electromagnetic compatibility EMC, Radar Cross Section RCS, reflectivity R, refractive index n, Standard Pyramidal wave absorber TDK-ICT-030.

Received: 7/5/2023  
Accepted: 8/6/2023



**Copyright:** Damascus University- Syria, The authors retain the copyright under a

**CC BY- NC-SA**

الكهربائية)، وعلى تردد الموجة. يعبر عن معامل الانعكاس بنسبة طولية الموجة المنعكسة إلى طولية الموجة الواردة.

#### 1. الدراسات المرجعية (Literature Review):

على مدى السنوات القليلة الماضية تم نشر الكثير من الدراسات والمقالات حول المماص الهرمية الشكل المستخدمة في الغرف المعاصرة رادارياً. حيث قام Orakwue et al (2019) بمحاكاة المماص رادارياً. حيث قام Orakwue et al (2019) بمحاكاة وتصنيع ماص للأمواج المايكروية هرمي الشكل باستخدام مادة البولي يوريثين والكريبون لاستخدامه في الغرف المعاصرة رادارياً بتكلفة أقل من الماص التقليدي. حيث أثبتت نتائج المحاكاة أن له أداءً امتصاصياً جيداً مماثلاً لذلك الموجود في الماص التقليدي مع خفض التكلفة بأكثر من 60%. أما Yohandri et al (2018) فقد قام بمحاكاة وتصميم ماص هرمي الشكل باستخدام مادة كريونية مع ثابت عزل كهربائي يساوي 2.9 للتطبيق في الغرف المعاصرة رادارياً، وذلك على مجال تردد عريض النطاق، حيث كان ارتفاع الهرم والقاعدة يساوي 132 mm و 20 mm على الترتيب. حيث أظهرت نتائج المحاكاة استيفاء خسارة الانعكاس وخسارة الإرسال للماص الهرمي الشكل. كما قام Sittakul et al (2015) بتقديم تصميم بنية جديدة لماص للأمواج الكهرومغناطيسية من الفرايت ذو أبعاد 1.1m × 2.1m × 0.8m (عرض × طول × ارتفاع) على المجال الترددي الممتد من 40MHz إلى 1 GHz. كما قام Shu et al (2005) بدراسة تأثير زاوية الرأس بين المماص الهرمية الشكل على الامتصاصية. حيث لوحظ أن انعكاسات الموجات الكهرومغناطيسية بين المماص تزداد مع انخفاض زاوية الرأس وتحسن خسارة الموجات الكهرومغناطيسية. كما قام Nornikman et al (2008) بدراسة تأثير تغير البارامترات الهندسية للماص الهرمي الشكل على أداءه الامتصاصي. وقام Ibrahim et al (2008) بتحديد التأثير الامتصاصي باستخدام الكريبون كمادة ماصة لتجنب انعكاسات الموجة الكهرومغناطيسية عن جدران الغرفة المعاصرة رادارياً. وللحقيقة

#### المقدمة (Introduction):

يقع نطاق ترددات الأمواج المايكروية ضمن المجال عادة من مجموعة من المواد، التي توفر امتصاص الموجات الواردة إليها وتقليل الانعكاسات عنها. يمكن أن تأخذ المماص أشكالاً مختلفة منها: الهرمي pyramidal، والوتدية wedge، والمائل oblique، والملتوية convoluted... الخ (Fawwaz et al., 1994, 518). يتم تصنيع المماص حالياً وبشكل واسع عن طريق تقطيع الكريبون الناقل إلى وسط بلاستيكي إسفنجي مثل البولي يوريثان أو البوليستيرين (Harrington, 1961, 520)، (Balanis, 2016, 931) وبما أن الماص الأساسي المستخدم ضمن المجال الترددي المذكور هو الماص الهرمي الشكل، فقد كرست أغلب الدراسات العلمية على هذا الماص كمكون رئيسي في الغرف المعاصرة رادارياً Orakwue (Leland et al., 2018, 219)، (Hayati, 2022, 5)، (Jian et al., 2000, 5)، (et al., 2019, 4).

يوجد نوعان من الغرف المعاصرة: غرف مانعة للصدى "صوتية" وغرف ماصة رادارياً. الغرفة الماصة رادارياً: هي عبارة عن غرفة مشلدة تغطي جدرانها الداخلية بمادة ماصة للموجات الكهرومغناطيسية تمنعها من الانعكاس. تستخدم الغرف المعاصرة رادارياً بشكل أساسي لتنفيذ ما يلي: قياس المخطط الإشعاعي للهواي، دراسة التوافق الكهرومغناطيسي- EMC (Electro-RCS)، قياس المقطع الراداري Magnetic Compatibility) . (Radar Cross Section) (Hayat et al., 2001, 597).

إن تطوير واختيار الشكل المناسب للماص الراديوسي يجب أن يتم بناءً على المتطلبات التالية: قيمة معامل الانعكاس بالطويلة والصفحة وذلك عند زوايا مختلفة لورود الموجات الكهرومغناطيسية وفي حالي الاستقطاب الأفقي والعمودي.

تعبر الانعكاسية  $R$  عن الأداء الامتصاصي للمادة، وهي تعتمد على خواص المادة (ثبت النفوذية المغناطيسية وثابت السماحية

أن هذه الشروط تتعلق بخصائص المواد المصنوعة منها تلك الأوساط، وبالتالي يمكن فهم توزع الحقل الكهربائي حول هوائي أو أي بنية أخرى من خلال فهم تلك الشروط. توجد ثلاث حالات للشروط الحدية هي:

- 1 - عازل كهربائي ( $\epsilon_{r1}$ ) - عازل كهربائي ( $\epsilon_{r2}$ ).
- 2 - ناقل - عازل كهربائي ( $\epsilon_r$ ).
- 3 - ناقل - فراغ حر ( $\epsilon_0$ ).

وبما أنه في بحثنا هذا نناقش انتشار الموجة الكهرومغناطيسية في وسط عازل (الفراغ) ويصطدم بوسط عازل آخر هو عبارة عن الماسح الهرمي الشكل، وبالتالي سنناقش الحالة الأولى وهي سلوك الحقل عندما ينتشر الحقل بين وسطين عازلين.

ولتحديد الشروط الحدية، نستخدم معادلتي ماكسويل (Hayat et al., 2001, 597):

$$\oint \vec{E} \cdot d\vec{l} = 0 \quad (1)$$

$$\oint \vec{D} \cdot d\vec{s} = Q_{\text{encl}} \quad (2)$$

أيضاً نحتاج لتحليل شدة الحقل إلى مركبتين متعامدتتين: المركبة المماسية للحقل  $\vec{E}_t$  والمركبة الناظمة للحقل  $\vec{E}_n$ .  
نعتبر أن الحقل يتواجد في منطقة تتالف من عازلين مختلفين يتميزان:

$$\begin{aligned} \epsilon_1 &= \epsilon_0 \epsilon_{r1} \\ \epsilon_2 &= \epsilon_0 \epsilon_{r2} \end{aligned}$$

حيث أن الحقل  $E_1$  و  $E_2$  موجودين في الوسط الأول والوسط الثاني على الترتيب. يمكن تحليل مركبات كل منها على النحو التالي:

$$\vec{E}_1 = \vec{E}_{1t} + \vec{E}_{1n} \quad (3)$$

$$\vec{E}_2 = \vec{E}_{2t} + \vec{E}_{2n} \quad (4)$$

من الأداء الامتصاسي للماسح، تم إجراء قياس لتحديد معدل الامتصاص ضمن المجال الترددي 1-10 GHz. حيث أظهرت النتائج أن الكربون مادة جيدة لامتصاص الموجات الكهرومغناطيسية المايكروية.

يلاحظ مما سبق أن جميع الأبحاث قد ركزت على تأثير نوع المادة التي يصنع منها الماسح الهرمي الشكل وأبعاده الهندسية على أداء الماسح، باستثناء ما قام به Shu et al (2005) الذي درس تأثير زاوية الرأس على الأداء الامتصاسي.

وبسبب إغفال معظم الدراسات التي تناولت المواسن الرادارية لتأثير انتشار الموجة في الوسط وسلوكها عند الانتقال بين حد فاصل بين وسطين (في حالتنا بين الفراغ والماسح الهرمي الشكل)، كان الاتجاه في هذا البحث لدراسة ذلك إن كان من حيث زاوية الورود أو المسافة أو التموضع المتبدل للمواسن الهرمية الشكل ولمنبع الموجات الكهرومغناطيسية وبالتالي تحديد العوامل التي تؤثر على أداء ماسح الأمواج المايكروية الهرمي الشكل، مما يمكننا من الوصول إلى الحالة الأفضل للعلاقة بين المواسن الهرمية الشكل ومنبع الإشارة الكهرومغناطيسية التي تومن نسبة عالية من الامتصاص وبالتالي انعكاسات أقل وهذا يؤدي لنتائج دقيقة عند استخدامه كمكون أساسي في الغرف الماسحة رادارياً.

## 2. مواد البحث وطرائقه Materials and Methods

### 2.1 - الدراسة العلمية:

على الرغم من أن الحقل الكهربائي يمكن أن يكون مستمراً في الأوساط المختلفة المجاورة، إلا أنه يمكن أن يصبح غير مستمر عند الحدود بين الوسطين.

نقول عن الشروط التي يجب أن يتحققها الحقل عند الحد الفاصل بين وسطين بالشروط الحدية، حيث تساعدنا هذه الشروط على تحديد الحقل في أي من جوانب الحد الفاصل، إذا كان الحقل على الجهة الأخرى من الحد الفاصل معلوماً. حيث

$$D_{1n} - D_{2n} = \rho_s \quad (8)$$

وفي حالة عدم وجود شحنات حرة عند الحد الفاصل فإن العلاقة

(8) تأخذ الشكل التالي:

$$D_{1n} = D_{2n} \quad (9)$$

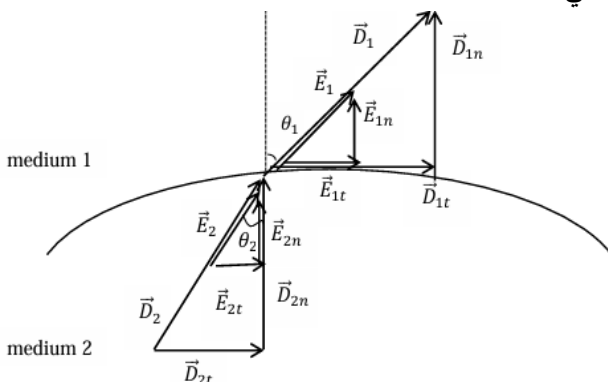
وبالتالي فإن المركبة الناظمية  $\vec{D}$  مستمرة عند الحد الفاصل، أي لا تخضع  $D$  للتغير عند الحد الفاصل.

$$\vec{D} = \epsilon \vec{E} \Rightarrow \epsilon_1 E_{1n} = \epsilon_2 E_{2n} \quad (10)$$

تبين العلاقة (10) بأن المركبة الناظمية للحقل  $E$  غير مستمرة عند الحد الفاصل بين وسطين عازلين مختلفين.

يمكننا استخدام الشروط الحدية لتحديد انكسار اشعة الحقل عند الحد الفاصل. إذا أخذنا بعين الاعتبار أن  $D_1$  (أو  $E_1$ ) ( $D_2$  أو  $E_2$ ) يصنعوا زوايا  $\theta_1$  و  $\theta_2$  مع الحد الفاصل، كما في الشكل

التالي:



الشكل (3) انعكاس  $D$  أو  $E$  عند الحد الفاصل عازل - عازل

وباستخدام العلاقة (6) نحصل على:

$$E_1 \sin \theta_1 = E_{1t} = E_2 \sin \theta_2$$

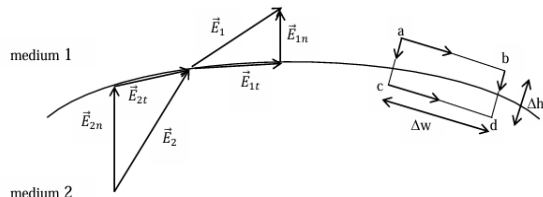
وبشكل مشابه بتطبيق العلاقة (9) أو العلاقة (10) نحصل:  $\epsilon_1 E_1 \cos \theta_1 = D_{1n} = D_{2n} = \epsilon_2 E_2 \cos \theta_2$  (12)

م العلاقة (11) على العلاقة (12) نحصل:

$$\frac{\tan \theta_1}{\epsilon_1} = \frac{\tan \theta_2}{\epsilon_2}$$

$$\frac{\tan \theta_1}{\tan \theta_2} = \frac{\epsilon_{r1}}{\epsilon_{r2}} \quad (13)$$

تعبر هذه العلاقة عن قانون انكسار أشعة الحقل الكهربائي، والذي يفهم منها أن الحد الفاصل بين وسطين عازلين يسبب انحناء (انكسار) في خطوط التدفق. عندما تعبر الإشارة من



الشكل (1) الحقل الكهربائي عند حد فاصل عازل - عازل

طبق العلاقة (1) على المسار المغلق abcd  $a$  وبافتراض

أن المسار صغير جداً مع مراعاة تغيرات الحقل نحصل على:

$$0 = E_{1t} \Delta w - E_{1n} \frac{\Delta h}{2} - E_{2n} \frac{\Delta h}{2} - E_{2t} \Delta w + E_{2n} \frac{\Delta h}{2} + E_{1n} \frac{\Delta h}{2} \quad (5)$$

عندما  $\Delta h \rightarrow 0$  فإن العلاقة (5) تأخذ الشكل التالي:

$$0 = E_{1t} \Delta w - E_{2t} \Delta w \Rightarrow E_{1t} = E_{2t} \quad (6)$$

هذا يعني أن المركبات المماسية للحقل الكهربائي هي نفسها على كلا جانبي الحد الفاصل، وبكلمات أخرى نقول بأن  $E$  لا يخضع للتغير على الحد الفاصل وأنه مستمر خلاله.

وبما أن:  $\vec{D} = \epsilon \vec{E} = \vec{D}_t + \vec{D}_n$ :

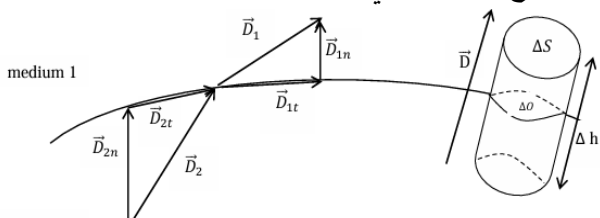
فإن العلاقة (6) يمكن كتابتها كالتالي:

$$\frac{\vec{D}_{1t}}{\epsilon_1} = \vec{E}_{1t} = \vec{E}_{2t} = \frac{\vec{D}_{2t}}{\epsilon_2} \quad (7)$$

وبالتالي فإن المركبة المماسية  $\vec{D}$  تخضع لبعض التغيرات خلال الحد الفاصل ويقال بأن  $D$  غير مستمر خلال الحد الفاصل.

وبشكل مشابه نطبق العلاقة (2) على السطح الغاوسي كما

هو موضح بالشكل التالي:



الشكل 2- التدفق الكهربائي عند الحد الفاصل عازل - عازل

الشكل (2) التدفق الكهربائي عند الحد الفاصل عازل - عازل

$$\Delta Q = \rho_s \cdot \Delta S = D_{1n} \Delta S - D_{2n} \Delta S$$

نوع المادة، ويكافئه ثابت العزل المنسوب ( $\epsilon_r$ ) إلى ثابت العازلية للفضاء الحر ( $\epsilon_0$ ).

يمكن حساب معامل الانعكاس لمادة ماصة ما إذا استطعنا حساب الناقلة الكهربائية العقدية، الفوئية المغناطيسية العقدية، ونماقيتها.

توجد طرق عديدة للحصول على ثابت عزل مادة ما، نذكر منها:

Free Space, NRL Arch Free Space, Transmission Line and Resonant Cavity methods

تعتمد الطريقة التي يتم اعتمادها لقياس ثابت العزل على شكل المادة: سائلة، صلبة، هشة، أو غازية.

الطريقة المستخدمة في هذا البحث لتحديد ثابت العزل هي طريقة Free Space وهي تتطلب التجهيزات التالية:

- 1- Agilent E8362B PNA Network Analyzer.
- 2- Agilent 85071E Material Measurement Software.
- 3- Two Horn Antennas.
- 4- Coaxial Cable, connector.
- 5- Agilent 85052 D 3.5mm Calibration Kit and Connectors.

### 3.3 تصميم ماص الأمواج المايكروية :Absorber Design

#### 3.3.1 تصميم ماص الأمواج المايكروية الهرمي

##### الشكل(Design Pyramidal Microwave Absorber

تم في هذا البحث تصميم الماص المايكروي بواسطة البرنامج الحاسوبي CSTMWS. حيث تم اختيار شكل الماص على هيئة هرم. النوع الهرمي هو النوع الأساسي لماص الأمواج المايكروية حيث أنه الشكل الأكثر استخداماً في الأسواق التجارية حالياً.

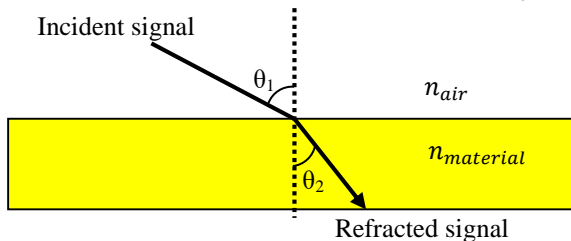
وبما أن الهدف في هذا البحث هو إيجاد الشروط التي تؤمن نسبة جيدة من الإمتصاص فقد تم اعتماد القيمة  $\epsilon_r = 2.9$  لأن هذه القيمة تؤمن امتصاصية جيدة ضمن المجال الترددي من  $1\text{GHz} \sim 20\text{GHz}$ .

في البداية لا بد من القيام بالمحاكاة لبعض المواتص المعروفة عالمياً على نطاق واسع والتي تم قياس معامل الامتصاص لها

وسط ما، في حالتنا الهواء، إلى وسط آخر، في حالتنا الماص الهرمي، بزاوية معينة فإن سرعتها ستتغير وهذا يؤدي إلى انحرافها عن مسارها المستقيم تسمى هذه الظاهرة بالانكسار. يعبر معامل الانكسار  $n$  لوسط ما عن مقدار تناقص سرعة الموجة ضمن الوسط. يساوي معامل انكسار الهواء القيمة 1.00029، بينما هو أكبر بالنسبة للماص الهرمي.

يبين الشكل (4) قانون سنل Snell's Law، الذي يقدم علاقة تربط بين زاوية ورود وانكسار الموجة الساقطة على الحد الفاصل بين وسطين وذلك عند قيم مختلفة لمعامل الانكسار. تبين العلاقة (14) قانون سنل حيث:  $\theta_1$  - زاوية الورود،  $\theta_2$  - زاوية الانكسار،  $V$  - سرعة الموجة. يحدث الانعكاس الداخلي الكلي عندما تمر الإشارة عبر حد فاصل بين وسطين: الأول  $n_{air}$  ذو معامل انعكاس أكبر من الثاني  $n_{material}$

$$\theta_1 > \theta_2 \quad \text{بشرط ورودها بزاوية } n_{material} < n_{air} \quad \sin^{-1}\left(\frac{n_{material}}{n_{air}}\right)$$



الشكل(4) قانون سنل

$$\frac{\sin\theta_1}{\sin\theta_2} = \frac{v_1}{v_2} = \frac{n_{material}}{n_{air}} \quad (14)$$

**2.2 تحديد ثابت العزل Define Dielectric Constant :** تتميز المواد العازلة بالمقدرة على تخزين الطاقة وذلك عند تطبيق حقل كهربائي خارجي عليها.

ثابت السماحية الكهربائية المطلقة للغاز  $\epsilon$ : هو عبارة عن معيار للطاقة الالكتروستاتيكية المخزنة ضمنه وهي تعتمد على

وذلك للتأكد من صحة تفازد المحاكاة الحاسوبية. من هذه المواص النموذجين التاليين:

- 1- TDK-ICT-030 High Power Absorber.
- 2- EMC-24CL Ultra Broadband Microwave Absorber.

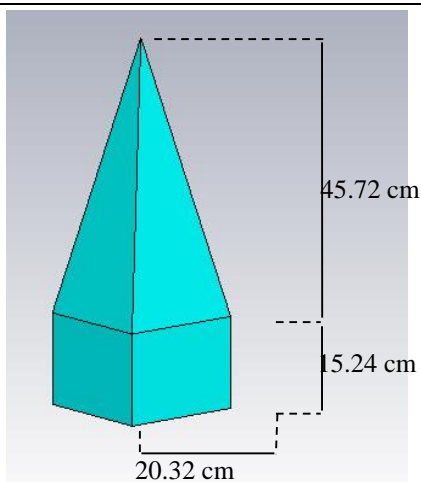
يبين الشكل (5) النموذج الأول TDK-ICT-030، بينما يظهر في الشكل (6) النموذج الثاني EMC-24CL

القيمة المتوسطة لمعامل الإنعكاس في المراجعات العلمية المستخدمة في تصميم الغرف الماصة هي

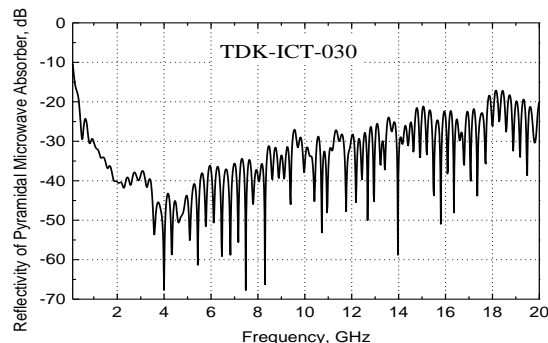
$$S_{11} = -32 \text{ dB}$$

للنوع الأول (TDK RF Solution,2018,79) ، و  $S_{11} = -40 \text{ dB}$  للنوع الثاني (ETS.LINDGREN,2017,82).

وتقسیر الإختلاف في القيم للنموذجین المدرسوین، هو بأن الإمامتصاص يزداد بزيادة أبعاد الجسم الماص خاصة ضمن التردیدات الدنيا. وقد تأکد لنا ذلك من خلال عملية المحاكاة وحساب متوسط معامل الإنعکاس على مجال ترددی واسع (أنظر الأشكال 7 و 8)، حيث تم الإكتفاء فقط بمحاکاة المجال الترددی GHz (0.06-12) بالنسبة للماص الهرمي EMC-24CL لکبر حجمه ولما يتطلب ذلك من مقدرات حاسوبية كبيرة إن كان من حيث الذاكرة أو السرعة.

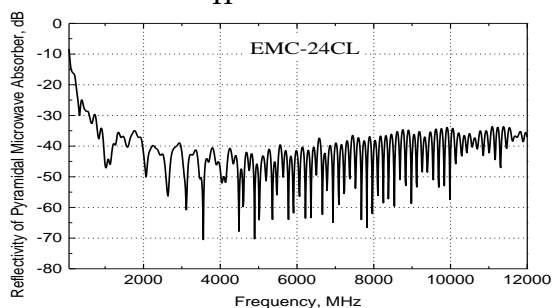


الشكل (6) الماص الهرمي EMC-24CL .(ETS.LINDGREN,2017,52)



الشكل (7) معامل الإنعکاس  $S_{11}$  للماص الهرمي من النوع TDK-ICT-030 القيمة المتوسطة لمعامل الإنعکاس:

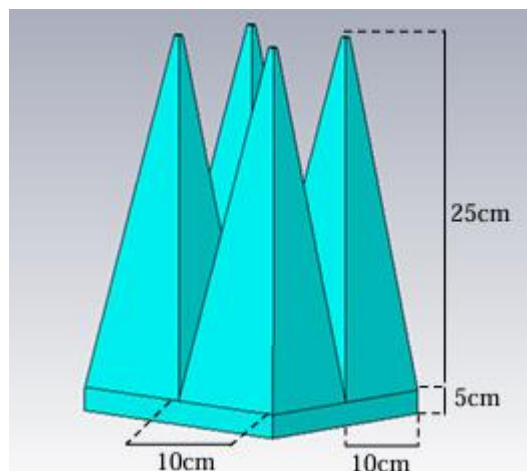
$$S_{11} = -33 \text{ dB}$$



الشكل (8) معامل الإنعکاس  $S_{11}$  للماص الهرمي من النوع EMC-24CL، القيمة المتوسطة لمعامل الإنعکاس:  $S_{11} = -41 \text{ dB}$

يعتمد التصميم في هذا البحث على النموذج المرجعي TDK-ICT-030.

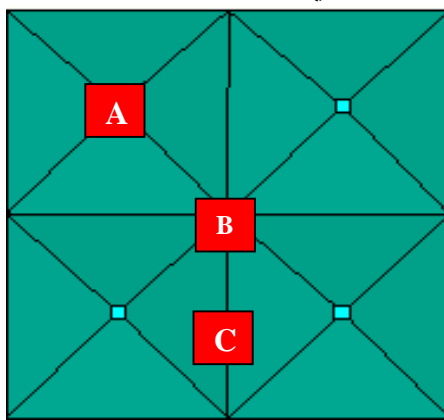
إن أبعاد lengthx30cm height: TDK ICT-030 هي: 10cm widthx10cm كما هو واضح من الشكل (5).



الشكل (5) الماص الهرمي TDK-ICT-030 (Solution,2018,35)

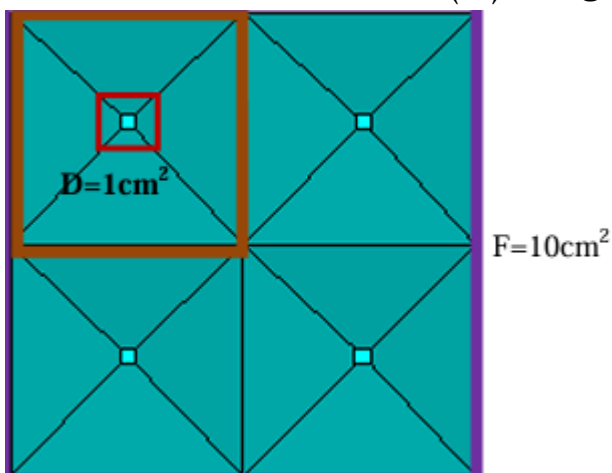
لكن في هذا البحث فإنه سيتم تخفيض الأبعاد:

يوضح الشكل (10) الحالة الأولى، حيث تستخدم ثلاثة مواضع مختلفة للبوابة A، B و C. تتوسط البوابة A على قمة الهرم، بينما تتوسط البوابة B بين المواص الأربعة، والبوابة C بين الهرمين الماصيين. المسافة بين البوابة ومنتصف الماص 30cm بينما الزاوية بين البوابة والهرم هي  $1 \text{ cm}^2$

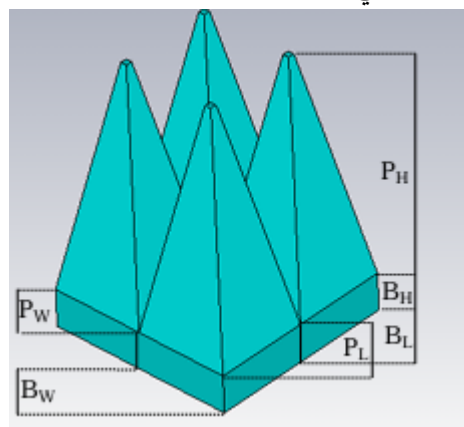


الشكل (10) مواضع مختلفة للبوابة على الماص الهرمي

الحالة الثانية هي مساحات مربعة مختلفة للبوابة  $1\text{cm}^2$ ,  $5\text{cm}^2$ ,  $10\text{cm}^2$ . الزاوية والمسافة مثبتة كما في الحالة الأولى. تغطي البوابة F كامل المساحة 100% بينما تغطي البوابة E 25% والبوابة D تغطي 1% من الماص الهرمي، كما هو موضح على الشكل (11).



الشكل (11) مساحات مختلفة للبوابة



الشكل (9) مجموعة الماص الهرمي

الجدول (1) أبعاد الماص الهرمي

Part	Symbol	Dimension (cm)
Pyramid Width	P <sub>W</sub>	5
Pyramid Length	P <sub>L</sub>	5
Pyramid Height	P <sub>H</sub>	12
Base Width	B <sub>W</sub>	5
Base Length	B <sub>L</sub>	5
Base Height	B <sub>H</sub>	2

### 13.3.2 الأوضاع النسبية بين الجسم الماص ومصدر الإشارة

#### Port Condition

إن مصدر الإشارة المستخدم عبارة عن فتحة دليل موجة، يمكن أن تؤخذ بمساحات مختلفة وعلى مسافات مختلفة أيضاً. كذلك يمكن دراسة تأثير الوضع الزاوي ما بين الفتحة والجسم الماص. يبين الجدول (2) الحالات الأربع التي سيتم دراستها والمتعلقة بمصدر الإشارة (البوابة) والماص الهرمي الشكل.

الجدول (2) الأوضاع النسبية المتبادلة بين الماص ومصدر الإشارة

Port condition	Angle ( $^{\circ}$ )	Distance (cm)	Areas ( $\text{cm}^2$ )
1	0	30	1
2	0	30	1,5,10
3	0,30,45	30	10
4	0	30,60,90	10

تبين الجداول (3÷6) معامل الانعكاس  $S_{11}$  عند حالات مختلفة لمصدر الإشارة.

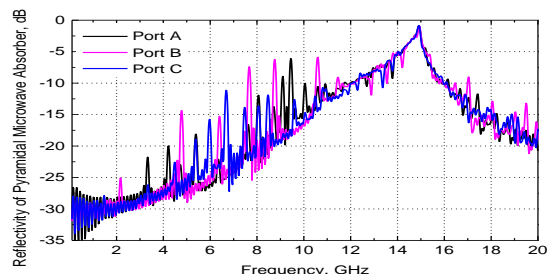
لا يمكن أن تُعبر أكبر قيمة لـ  $S_{11}$  على الأداء الكلي للamac، حيث أنها تُعبر عن مجال ضيق من الترددات، أما المعدل المتوسط فهو الذي سوف يعطي تصور كامل لأداء المamac. تستخدم قيمة معدل الانعكاس  $R_A$  في العلاقة (15) لإعطاء المعدل المتوسط للamac الهرمي على كامل المجال الترددي من 0.02 GHz إلى 20GHz.

$$R_A = \frac{\sum(R_{f_{0.02}} + R_{f_{0.04}} + \dots + R_{f_{20.0}})}{1000} \quad (15)$$

يبين الشكل (14) والجدول (3) أداء المamac وقيمة معامل الانعكاس  $S_{11}$  عند مواضع مختلفة بين البوابة والمamac. حيث يتضح بأن تغيير مكان البوابة لا يؤدي لتغيير ملحوظ على الأداء.

الجدول (3) قيم ومعدل معامل الانعكاس  $S_{11}$  عند مواضع مختلفة للبوابة

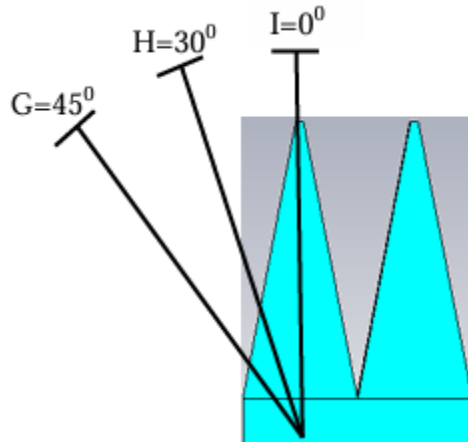
Port	$S_{11}$ (dB)	
	Best	Average
A	-30.6	-17.8
B	-30.7	-17.10
C	-30.6	-17.08



الشكل (14) معامل الانعكاس  $S_{11}$  عند مواضع مختلفة بين البوابة والمamac الهرمي

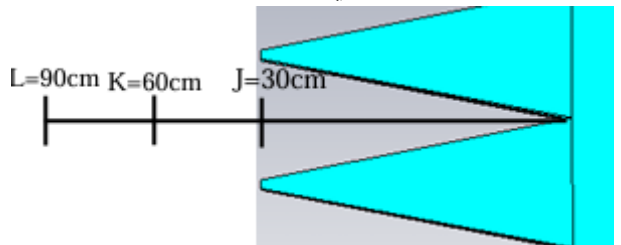
يبين الشكل (15) والجدول (4) أداء المamac الهرمي وقيمة معامل الانعكاس  $S_{11}$  عند مساحات مختلفة للبوابة. تعطي الحالات E أفضل قيمة لمعامل الانعكاس  $S_{11}$  بين البوابات الثلاث وهو 64.4 dB، لكن هذا لا يعني الأداء الحقيقي للamac حيث يُبين فقط الأداء عند التردد 16.4GHz، بينما

يبين الشكل (12) الحالة الثالثة: وهي زوايا مختلفة للبوابة: G، H و I بزوايا  $45^\circ$ ,  $30^\circ$ ,  $0^\circ$  على الترتيب. تستخدم هذه الحالة نفس المسافة كما في الحالة الأولى من أجل جميع البوابات.



الشكل (12) زوايا مختلفة للبوابة

يبين الشكل (13) الحالة الرابعة والأخيرة وهي مسافات مختلفة بين البوابة والهرم المamac: J، K و L بمسافات مختلفة 30cm، 90cm، 60cm على الترتيب. مساحة البوابة  $10 \text{ cm}^2$  والزاوية  $0^\circ$ .



الشكل (13) مسافات مختلفة للبوابة

#### 4. النتائج والمناقشة: Results and Discussion

إن الهدف من المحاكاة هو إيجاد الأداء الأفضل لamac المايكروية الهرمي الشكل.

يجب أن يمتلك المamac معامل انعكاس  $S_{11}$  أقل من -10dB لكي يتم اعتباره ذو أداء جيد (Huang et al., 2019, 6). يمكن بواسطة البرنامج الحاسوبي CSTMWS الحصول على قيمة  $S_{11}$ .

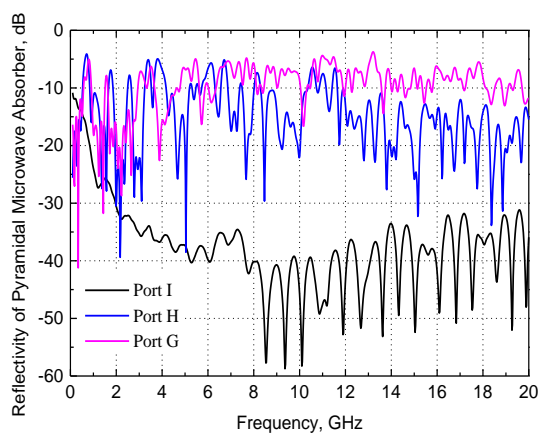
الرفاعي

تعطي الزاوية المباشرة  $(0^\circ)$  أفضل أداء مقارنة بالزوايا المائلة،  
تعطي الحالة I متوسط انعكاسية 37.5 كما تعطي أفضل قيمة  
 $S_{11} = -58.7 \text{ dB}$

بتطبيق العلاقة (14) يتضح بأن سرعة الإشارة داخل الماص الهرمي والقادمة من البوابة I أكبر منها في حالتي البوابة G والبوابة H. لذا فإنها ستؤثر على الامتصاص الكلي للإشارة إلى الماص الهرمي. يمكن أن تؤدي إشارة أسرع داخل الماص الهرمي لقيمة  $S_{11}$  أكبر.

**الجدول (5) قيم ومعدل معامل الانعكاس  $S_{11}$  عند زوايا مختلفة بين البواية والماص**

Port	Areas (cm <sup>2</sup> )	S <sub>11</sub> (dB)	
		Best	Average
D	1	-30.6	-17.8
E	5	-64.4	-32.6
F	10	-58.7	-37.5



الشكل (16) معامل الانعكاس  $S_{11}$  عند زوايا مختلفة بين البوابة والمacus يبين الشكل (17) والجدول (6) الحالة الرابعة والأخيرة وهي عند مسافات مختلفة بين البوابة والمacus الهرمي.

تبين بأنه عند المسافة 30cm فإنه يتم الحصول على أفضل متوسط قيمة  $L = S_{11} - 37.7$  dB، بينما الحالة الأسوأ هي عند مسافة 90cm بقيمة  $S_{11} = 37.5$  dB. تؤدي إشارة أكثر بعدها من البوابة إلى أداء أكثر سوءاً. هذا بسبب عند هذا الشرط تصبح الإشارة ضعيفة عند وصولها للماض مقارنة بالشرط عندما تكون أكثراً قرباً.

## دراسة تحليلية محوسبة لامواج المايكروية الهرمي الشكل

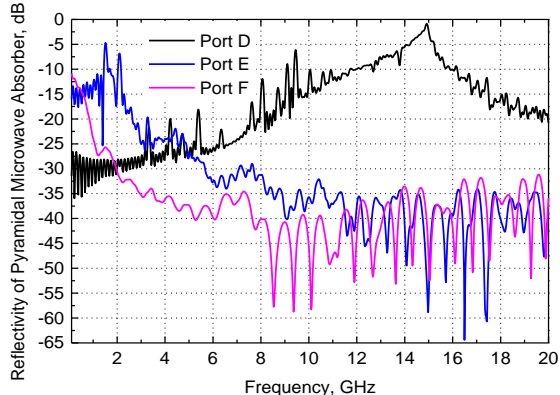
متوسط الانعكاس ضمن المجال الترددي GHz  $0.1 \div 20$  هو 32.6dB - وهو أسوأ من الأداء في الحالة F الذي هو 37.5 -. تلعب مساحة البوابة عامل رئيسي ومؤثر على الأداء الامتصاصي، حيث تؤدي مساحات أكبر إلى ازدياد الأداء الامتصاصي. هذا بسبب أن إشارات أكثر يمكن أن ترسل عبر البوابات ذات المساحات الأكبر.

إن الفرق في قيمة معامل الانعكاس بين البوابة D ذات المساحة  $1\text{cm}^2$  والبوابة F ذات المساحة  $10\text{cm}^2$  هو  $22.1 \text{ dB}$ . وهذا فرق كبير في الامتصاص.

أسوأ أداء هو عند مساحة  $1\text{cm}^2$  مقارنة بالحالة F و E.  
المتوسط بالنسبة للحالة D هو  $17.8\text{dB}$ . وهذه المساحة لا  
تلبي المطلب  $10\text{dB}$ - ضمن المجال  $\text{GHz}^{12 \div 16}$ . أسوأ نقطة  
للحالة D تعطى  $2\text{dB}$  عند التردد  $14.5\text{GHz}$ .

الجدول (4) قيم ومعدل معامل الانعكاس  $S_{11}$  عند مساحات مختلفة للبوابة

Port	Angle	S <sub>11</sub> (dB)	
		Best	Average
G	45	-41.5	-10
H	30	-39	-15.5
I	0	-58.7	-37.5



الشكل (15) معامل الانعكاس  $S_{11}$  عند مساحات مختلفة للبوابة يبين الشكل (16) والجدول (5) أداء الماص الهرمي وقيمة معامل الانعكاس  $S_{11}$  عند زوايا مختلفة بين البوابة والماص الهرمي.

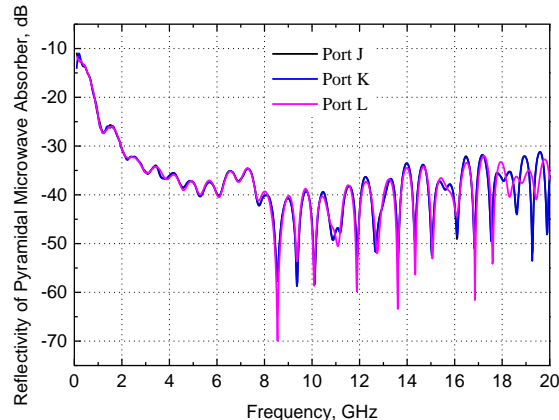
### الرفاعي

أوصي بأن يتم الأخذ بعين الاعتبار عند تنفيذ القياسات العملية في الغرفة الماخصة رادارياً للمخطط الشعاعي للهوابيات وللتوفيق الكهربائي EMC/EMI وللمقطع الراداري ولأية اختبارات لها علاقة بانتشار الأمواج الكهربائية بأن مساحة أكبر للبوابة وزاوية ورود مباشرة ومسافة أقل بين المماص الهرمية الشكل والجهاز الذي يتم تنفيذ القياسات عليه تعطي أفضل أداء امتصاصي للماخص الهرمي الشكل (أي معامل انعكاس أقل).

**التمويل:** هذا البحث ممول من جامعة دمشق وفق رقم التمويل (501100020595).

دراسة تحليلية محاسبة لاماخص الأمواج المايكروية الهرمي الشكل الجدول (6) قيم ومعدل معامل الانعكاس  $S_{11}$  عند مسافات مختلفة بين البوابة والمماص

Port	Distance (cm)	$S_{11}$ (dB)	
		Best	Average
J	90	-58	-37.5
K	60	-58.7	-37.6
L	30	-70	-37.7



الشكل (17) معامل الانعكاس  $S_{11}$  عند مسافات مختلفة بين البوابة والمماص

## 5. الاستنتاجات (Discussion)

يمكن أن نستنتج مما سبق بأنه توجد العديد من العوامل التي تؤثر على أداء الماخص الهرمي الشكل المستخدم في الغرفة الماخصة رادارياً:

- 1- تلعب مساحة البوابة عامل رئيسي ومؤثر على الأداء الامتصاصي للماخص الهرمي الشكل، حيث تؤدي مساحات أكبر إلى معامل امتصاص أكبر (انعكاس أقل).
- 2- تعطي زاوية الورود المباشرة ( $0^\circ$ ) بين مصدر الاشعاع وقمة الماخص الهرمي الشكل أفضل أداء للماخص مقارنة بالزوايا المائلة.
- 3- تؤدي زيادة المسافة بين البوابة والمماص الهرمي الشكل إلى أداء امتصاصي أسوء مقارنة بالمسافات الأصغر.
- 4- لا يؤدي تغيير مكان البوابة لأي تغير ملحوظ في الأداء الامتصاصي للماخص الهرمي الشكل.

## 6 . التوصيات:

sorber", Vertex Angle, Materials Technology, 20:4, 211-213, DOI: 10.1080/10667857.2005.11753140

[11] I. M. Ibrahim, N. M. Yaakob, M. N. Husain, Sian Meng Se, A. Shaaban, (2011), "The Effect of The Carbon to The S11 Measurement on The Pyramidal Microwave Absorber", IEEE Symposium on Wireless Technology and Applications (ISWTA), pp. 141–145.

[12] Balanis, C.A. (2016), "Antenna Theory: Analysis and Design", 3 rd ed.; Wiley: Hoboken, NJ, USA.

[13] R. F. Harrington, (1961), "Time-Harmonic Electromagnetic Fields", New York:McGraw-Hill.

[14] William H. Hayat, Jr, (2001), "Engineering Electromagnetic", 6<sup>th</sup> ed, McGraw-Hill, p. 597.

[15] TDK RF Solution Inc, (2018), "Absorber for Microwave and Millimeter Wave Test Chamber.

[16] ETS.LINDGREN, (2017), "An ESCO Technologies Company, EMC Anechoic Absorber, EMC-24CL".

## (References):

- [1] S. Hayati Raad, (2022), "Analysis and Design of Absorbers for Electromagnetic Compatibility Applications", Recent Topics in Electromagnetic Compatibility. Intech Open, doi: 10.5772/intechopen.100543.
- [2] Xu Q, Huang Y. Anechoic and Reverberation Chambers, (2019), "Theory, Design, and Measurements". United States: Wiley-IEEE Press;
- [3] Leland H.H. (2018), "Electromagnetic Anechoic Chambers. A Fundamental design and specification guide". IEEE Press. 219 PP.
- [4] Fawwaz T. Ulaby, Eric Michielssen, Umberto Ravaioli, (1994), "FUNDAMENTALS OF APPLIED ELECTROMAGNETICS", 6/e, Prentice Hall, p.518.
- [5] Orakwue SI, Onu IP, (2019), "Pyramidal microwave absorber design for anechoic chamber in the microwave frequency range of 1GHz to 10GHz". European Journal of Engineering and Technology Research. 4 (10):1-3
- [6] Q. Jian, W. Xiangyuan, Z. Hangfei, W. Ruixin,(2000), "Novel Pyramidal Microwave Absorbers For Out-Door Using", 5th Antennas, Propagation, and EM Theory (ISAPE 2000).
- [7] Yohandri, Z Affandi, (2018), "Optimization of pyramidal radar absorber for anechoic chamber application", J. Phys.: Conf. Ser. 1116 032043, p.1-6.
- [8] Sittakul V, Hongthong S, Pasakawee S. (2015), "Design and analysis of GTEM cell using the ferrite tile and pyramid absorbers for EMC Test in National Institute of Metrology (Thailand)". In: IEEE Conference on Antenna Measurements & Applications (CAMA). Chiang Mai, Thailand: IEEE; pp. 1–4
- [9] Park M-J, Kim S-S. (2016), "Design of wide bandwidth pyramidal microwave absorbers using ferrite composites with broad magnetic loss spectra". Electronic Materials Letters. 12(5):610-614
- [10] Shu-Ping Lv, Shun-Hua Liu & Yan-Bo Zhao (2005), "Design And Analysis Of A Pyramid Ab-